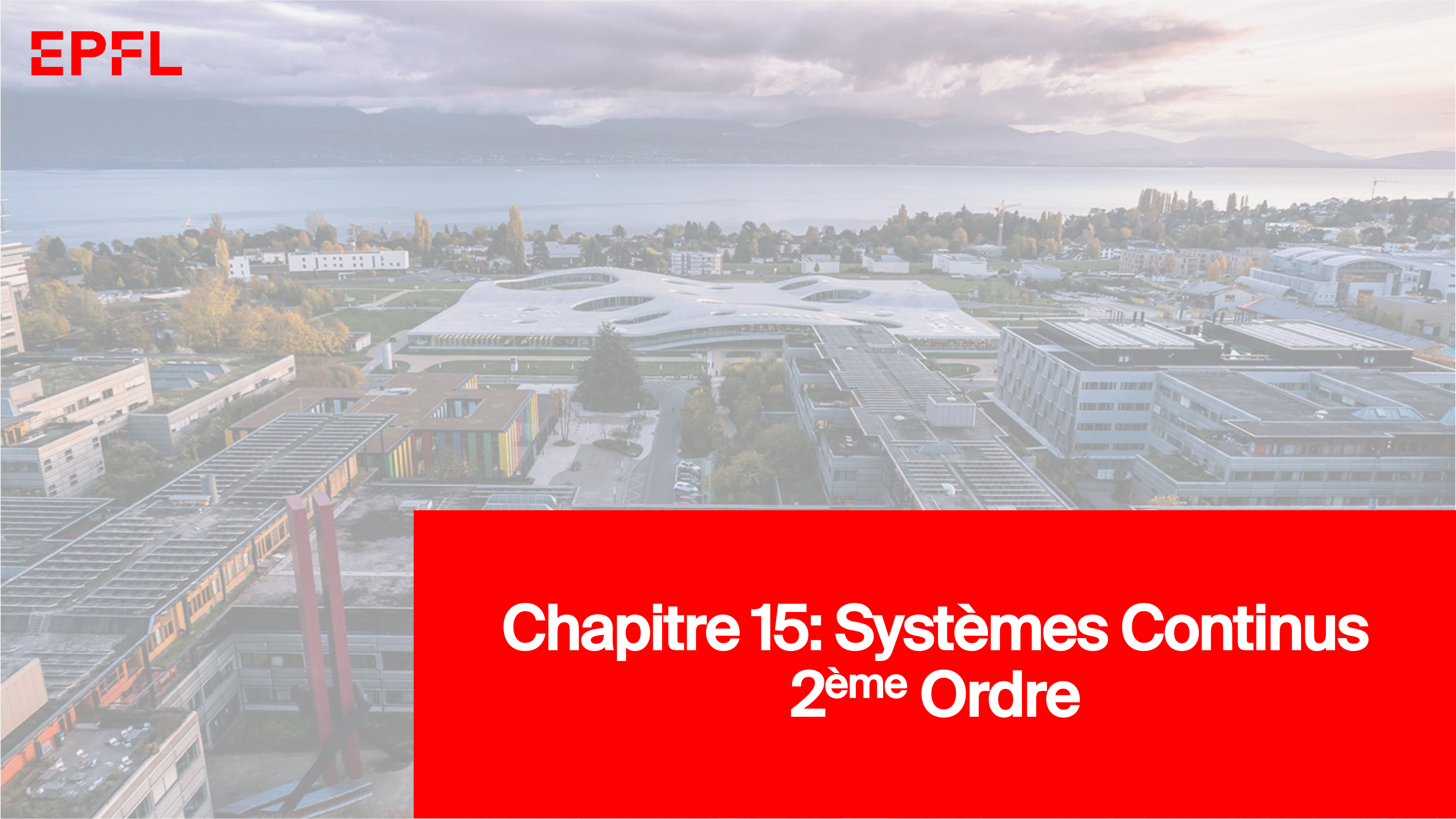




 École polytechnique fédérale de Lausanne Prof. Guillermo Villanueva

EPFL Introduction

- Systèmes continus
- 2^{eme} ordre cordes, barres
- Séparation de variables
- 4eme ordre poutres



EPFL Systèmes continus – 2ème ordre

Caractéristiques des systèmes vibratoires continus du deuxième ordre

- leurs masses sont réparties et déformables;
- leurs éléments élastiques et dissipatifs sont continus et généralement liés aux propriétés constitutives des masses;
- ils possèdent un nombre infini de degrés de liberté et, par conséquent, de fréquences propres;
- l'étude analytique de leur comportement vibratoire n'est possible que pour des configurations très simples;
- l'analyse des systèmes de la pratique requiert le recours à des méthodes numériques de résolution.

Equation différentielle régissant le comportement vibratoire de *systèmes continus simples* du deuxième ordre – Equation d'onde de *d'Alembert*

$$\frac{\partial^2 y}{\partial t^2} = a^2 \frac{\partial^2 y}{\partial x^2}$$

y(x, t) fonction vibratoire

x variable géométrique [m]

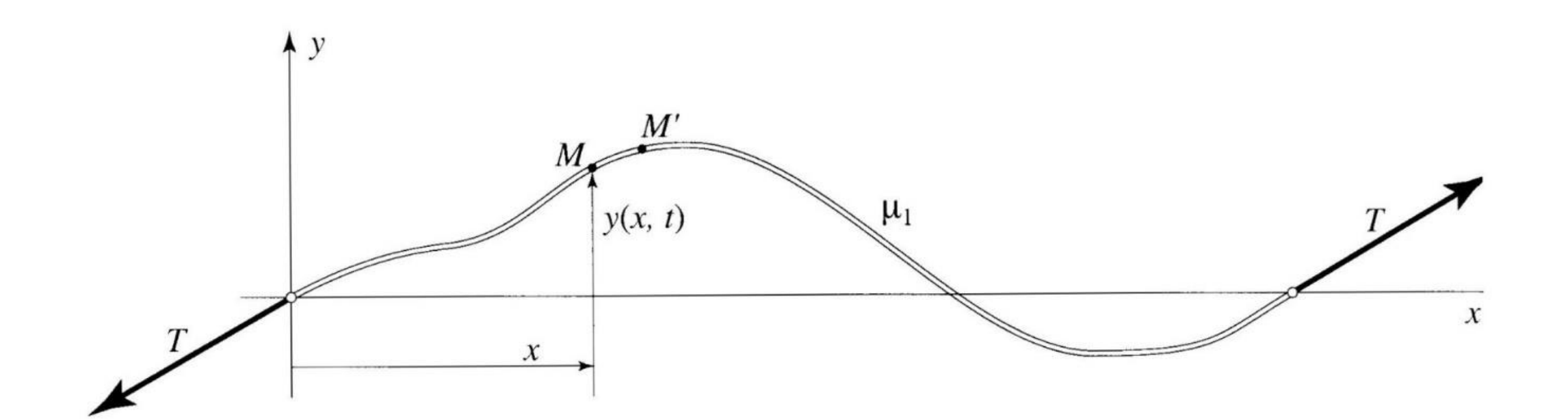
t temps [s]

célérité de l'onde [m|s]

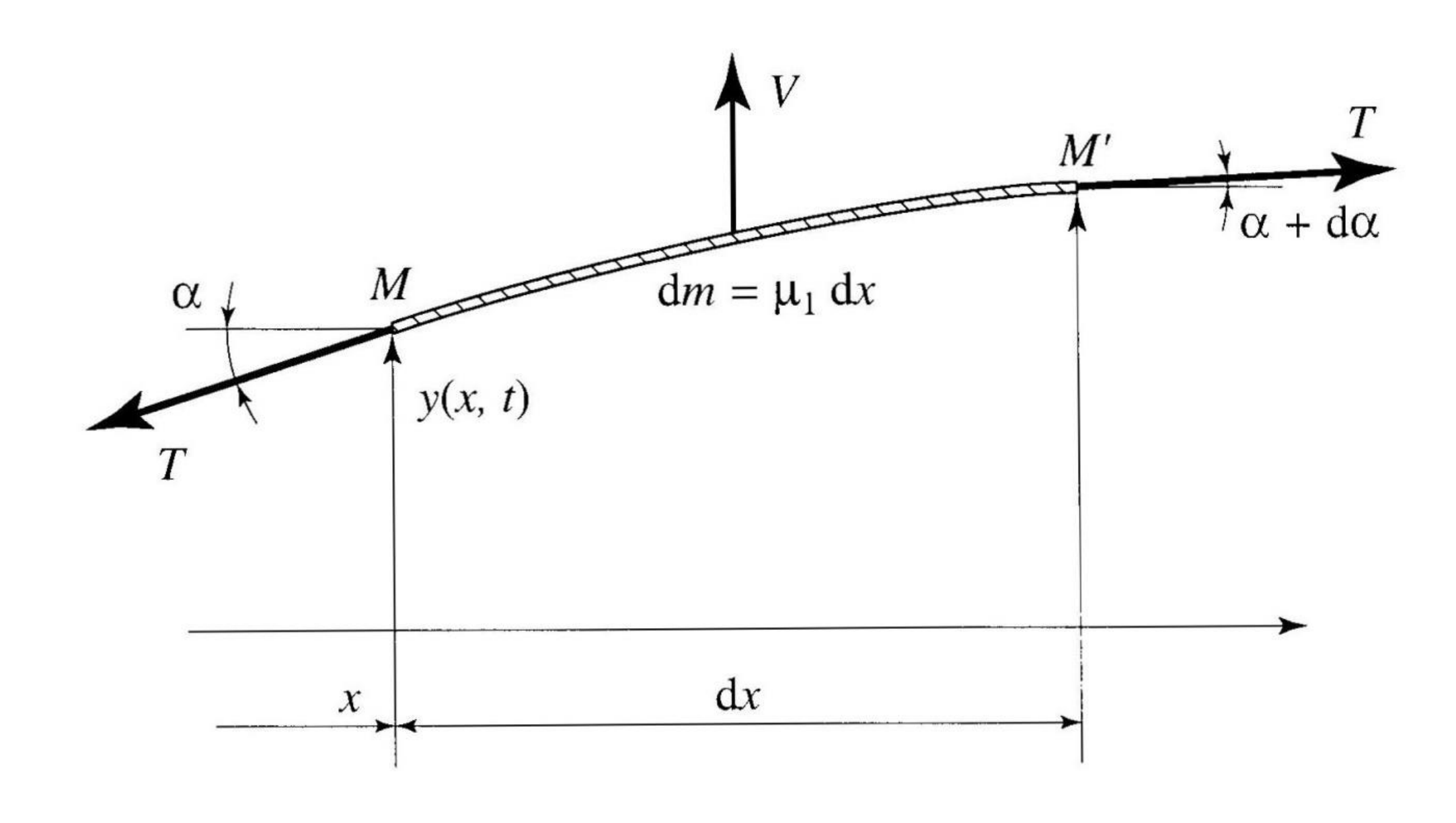
EPFL i. Vibrations latérales des cordes

Hypothèses adoptées pour l'étude des vibrations latérales des cordes

- la masse de la corde par unité de longueur μ_1 est constante et concentrée sur la ligne moyenne y(x,t);
- les déplacements latéraux sont suffisamment petits pour que la tension *T* reste, au premier ordre, constante;
- les déplacements se produisent dans un plan.



EPFL I. Vibrations latérales des cordes



Ecriture de la *loi de Newton* – Equilibre d'un élément d*m* de corde par projection verticale des forces

$$\mathrm{d}m\,\frac{\partial^2 y}{\partial t^2} = T(\alpha + \mathrm{d}\alpha) - T\,\alpha$$

$$\mu_1 dx \frac{\partial^2 y}{\partial t^2} = T \left(\frac{\partial y}{\partial x} + \frac{\partial^2 y}{\partial x^2} dx - \frac{\partial y}{\partial x} \right)$$

T tension dans la corde μ_1 masse par unité de longueur

Equation d'onde de *d'Alembert* relative aux vibrations latérales d'une corde

$$\frac{\partial^2 y}{\partial t^2} = \frac{T}{\mu_1} \frac{\partial^2 y}{\partial x^2}$$

EPFL II. Vibrations longitudinales des barres

SGM Ba5 - G. Villanueva P + dPu u + du E, ρ dxMécanique Vibratoire -

Expression des *forces élastiques P* et *P*+d*P* sur les faces d'un élément d*m* de barre en vibrations longitudinales

$$P = EA \varepsilon = EA \frac{\partial u}{\partial x}$$

$$P + dP = EA \left(\frac{\partial u}{\partial x} + \frac{\partial^2 u}{\partial x^2} dx \right)$$

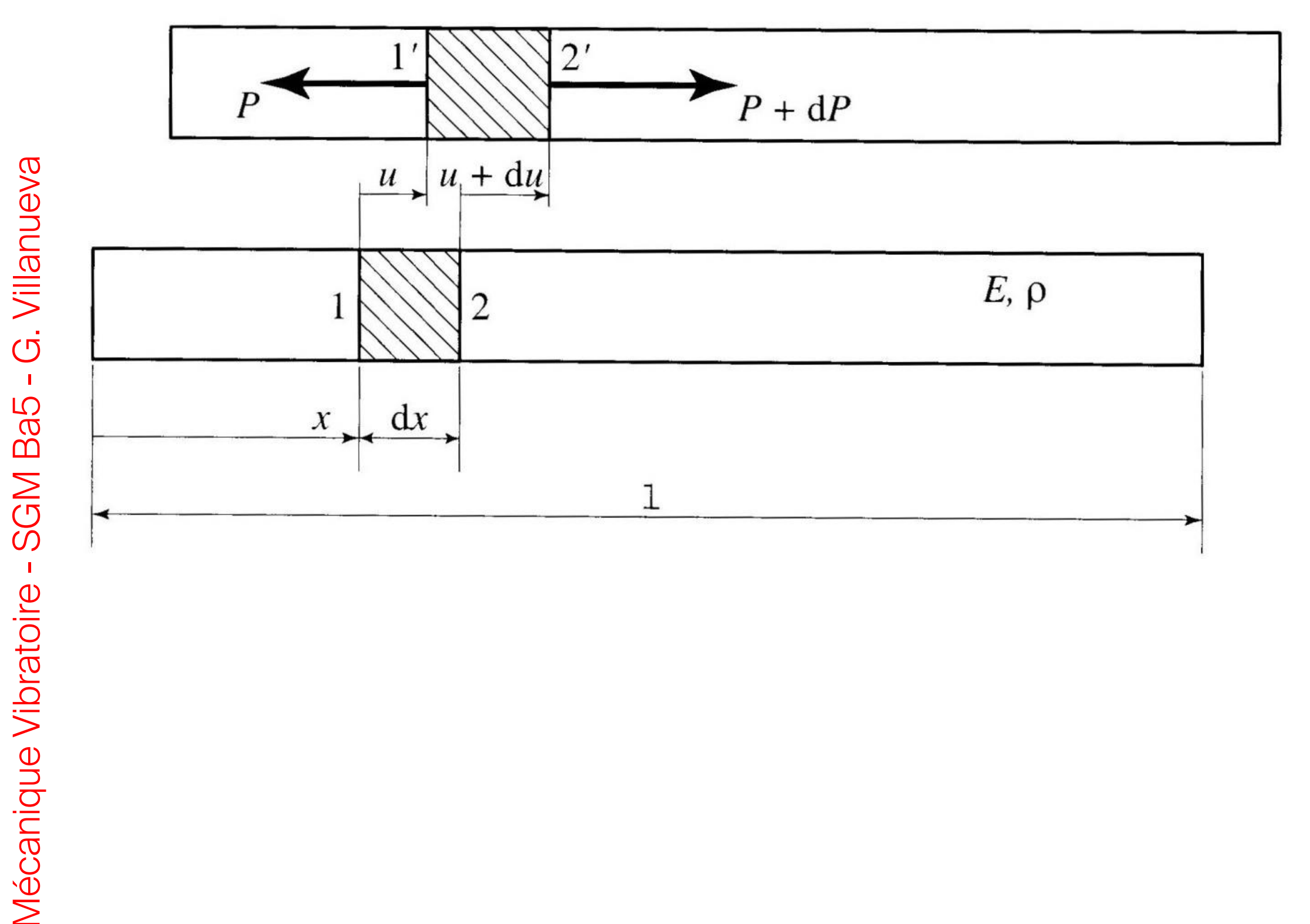
d << 1

u déplacement axial

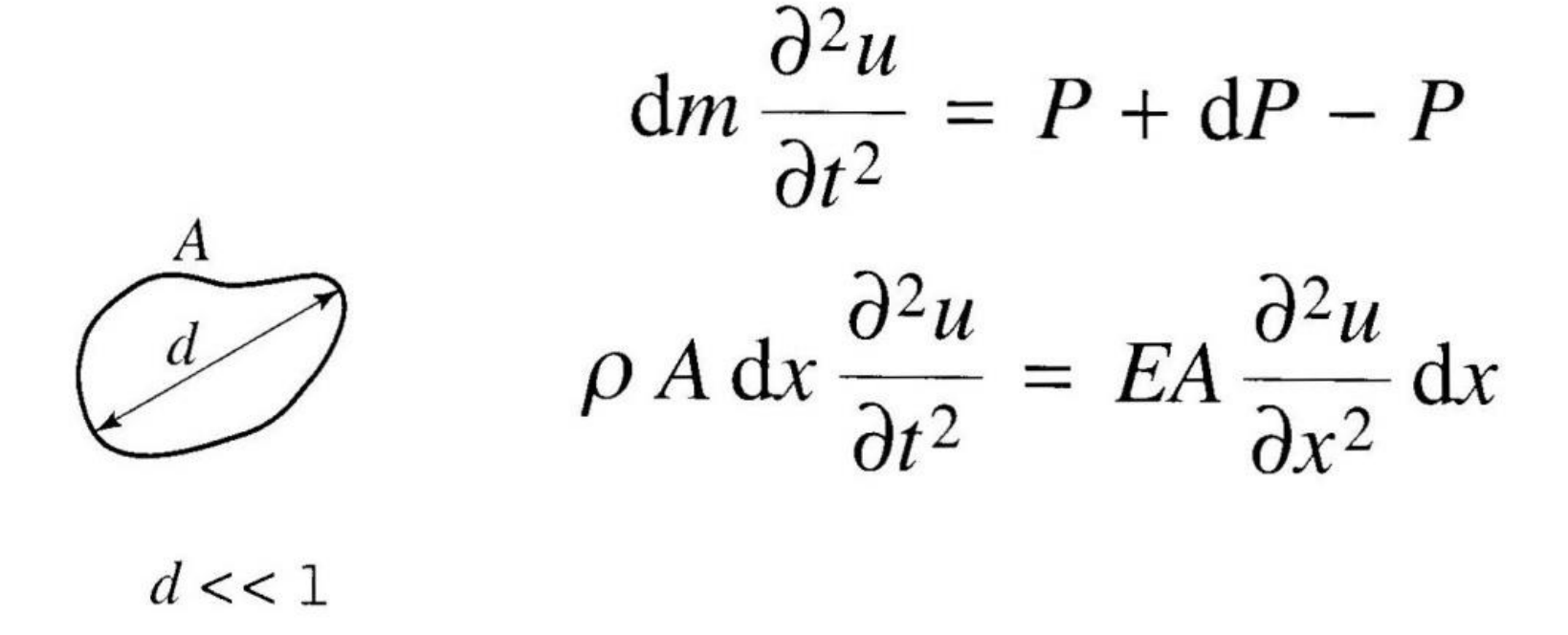
E module d'élasticité

A section

EPFL II. Vibrations longitudinales des barres



Ecriture de la *loi de Newton* – Equilibre des forces appliquées à un élément dm de barre



Equation d'onde de d'Alembert relative aux vibrations longitudinales d'une barre

$$\frac{\partial^2 u}{\partial t^2} = \frac{E}{\rho} \frac{\partial^2 u}{\partial x^2}$$

Recherche de solutions de l'équation de d'Alembert par séparation des variables

$$\frac{\partial^2 y}{\partial t^2} = a^2 \frac{\partial^2 y}{\partial x^2}$$
$$y(x,t) = V(x) \cdot U(t) \quad (15.20)$$

Ecriture de l'équation de d'Alembert en fonction des nouvelles variables

$$\frac{\ddot{U}}{U} = a^2 \frac{V''}{V} \tag{15.21}$$

Résolution *indépendante* des deux membres de l'équation de d'Alembert écrite en fonction des nouvelles variables

$$\frac{\ddot{U}}{U} = a^2 \frac{V''}{V} = -\omega_n^2 \qquad (n = 1, 2, ...)$$

Résolution du membre *temporel* de l'équation de d'Alembert

$$\frac{\ddot{U}}{U} = -\omega_n^2 \implies \ddot{U} + \omega_n^2 U = 0$$

$$U_n(t) = A_n \cos \omega_n t + B_n \sin \omega_n t \quad (15.22)$$

Résolution du membre *spatial* de l'équation de d'Alembert

$$a^{2} \frac{V''}{V} = -\omega_{n}^{2} \implies V'' + \frac{\omega_{n}^{2}}{a^{2}} V = 0$$

$$V_{n}(x) = C_{n} \cos \alpha_{n} x + D_{n} \sin \alpha_{n} x \quad (15.24)$$

avec

$$\alpha_n = \frac{\omega_n}{a} \quad (15.23)$$

Solution particulière de l'équation d'onde de d'Alembert

$$y_n(x,t) = (C_n \cos \alpha_n x + D_n \sin \alpha_n x)$$

$$\cdot (A_n \cos \omega_n t + B_n \sin \omega_n t) \quad (15.25)$$

Solution générale de l'équation d'onde de d'Alembert – Sommation des solutions particulières

$$y(x,t) = \sum_{n=1}^{\infty} \left(C_n \cos \alpha_n x + D_n \sin \alpha_n x \right)$$
$$\cdot \left(A_n \cos \omega_n t + B_n \sin \omega_n t \right) \quad (15.26)$$

avec

$$\alpha_n = \frac{\omega_n}{a} \quad (15.23)$$

Commentaires sur la solution générale de l'équation d'onde de d'Alembert

- les conditions initiales permettent de déterminer l'amplitude générale et la phase du mouvement en régime libre, mais sont sont peu utilisées en pratique;
- les conditions aux limites permettent de fixer les caractéristiques principales du comportement statique et dynamique du système;

- les conditions aux limites imposées à la solution dynamique doivent être homogènes, car la forme de cette solution s'annule périodiquement;
- la partie non homogène des conditions aux limites est satisfaite par une déformée statique que l'on superpose à la solution vibratoire;

EPFL I. Vibrations latérales des cordes

$$y_n(x,t) = (C_n \cos \alpha_n x + D_n \sin \alpha_n x) \cdot (A_n \cos \omega_n t + B_n \sin \omega_n t) \quad (15.25)$$

Conditions aux limites d'une corde vibrante de longueur ℓ en régime libre

$$y(0,t) \equiv 0$$

$$\Rightarrow C_n \cos(0) + D_n \sin(0) = 0$$

$$\Rightarrow C_n = 0$$

$$y(\ell,t) \equiv 0$$

$$\Rightarrow D_n \sin \alpha_n \ell = 0$$

$$\Rightarrow \sin \alpha_n \ell = 0$$

$$\Rightarrow \alpha_n \ell = n \pi \Rightarrow \alpha_n = \frac{n \pi}{\ell}$$

Extraction des *pulsations propres* de la corde vibrante

$$\alpha_n = \frac{\omega_n}{a} \implies \omega_n = \alpha_n a \quad \text{avec} \quad a = \sqrt{\frac{T}{\mu_1}}$$

EPFL I. Vibrations latérales des cordes

$$y_n(x,t) = (C_n \cos \alpha_n x + D_n \sin \alpha_n x) \cdot (A_n \cos \omega_n t + B_n \sin \omega_n t) \quad (15.25)$$

Pulsations *harmoniques* de la corde vibrante, liées aux solutions harmoniques

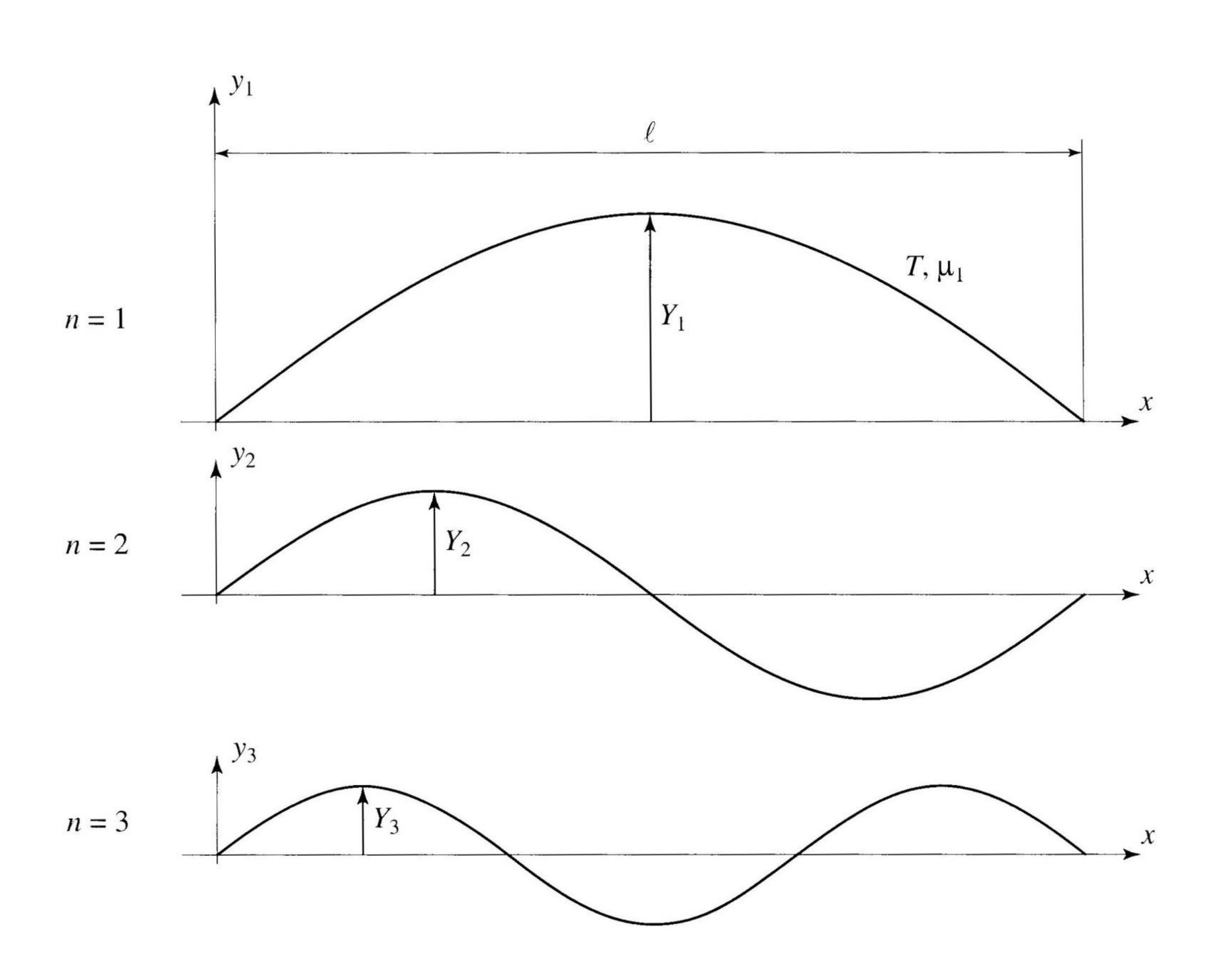
$$\begin{cases} \alpha_n = \frac{n\pi}{\ell} \\ \omega_n = \frac{n\pi}{\ell} \sqrt{\frac{T}{\mu_1}} \end{cases} \quad (n = 1, 2, ...)$$

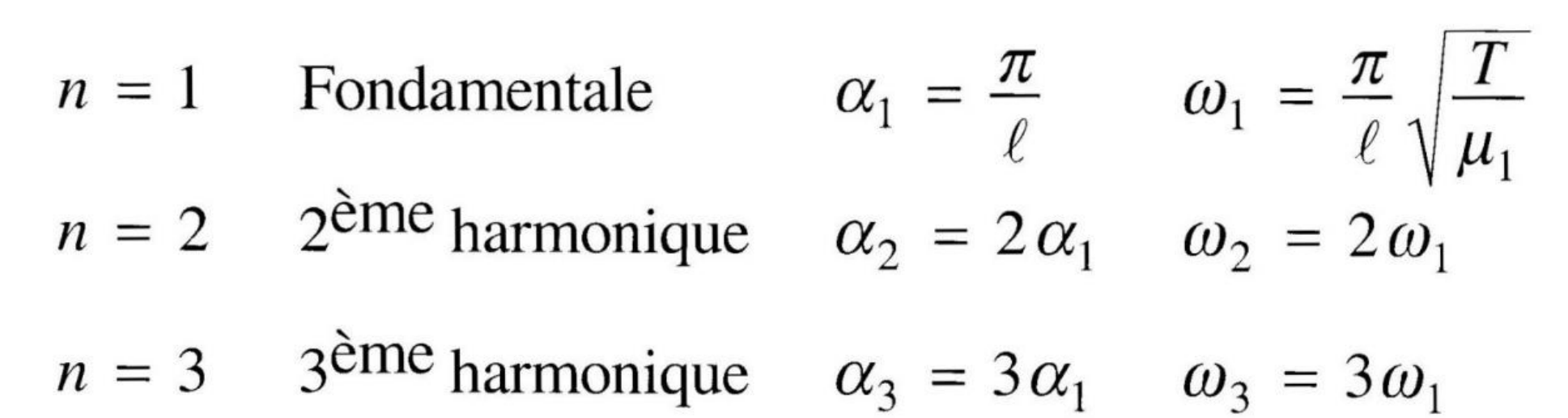
Solution générale de l'équation d'onde relative à la corde vibrante ($D_n = 1$)

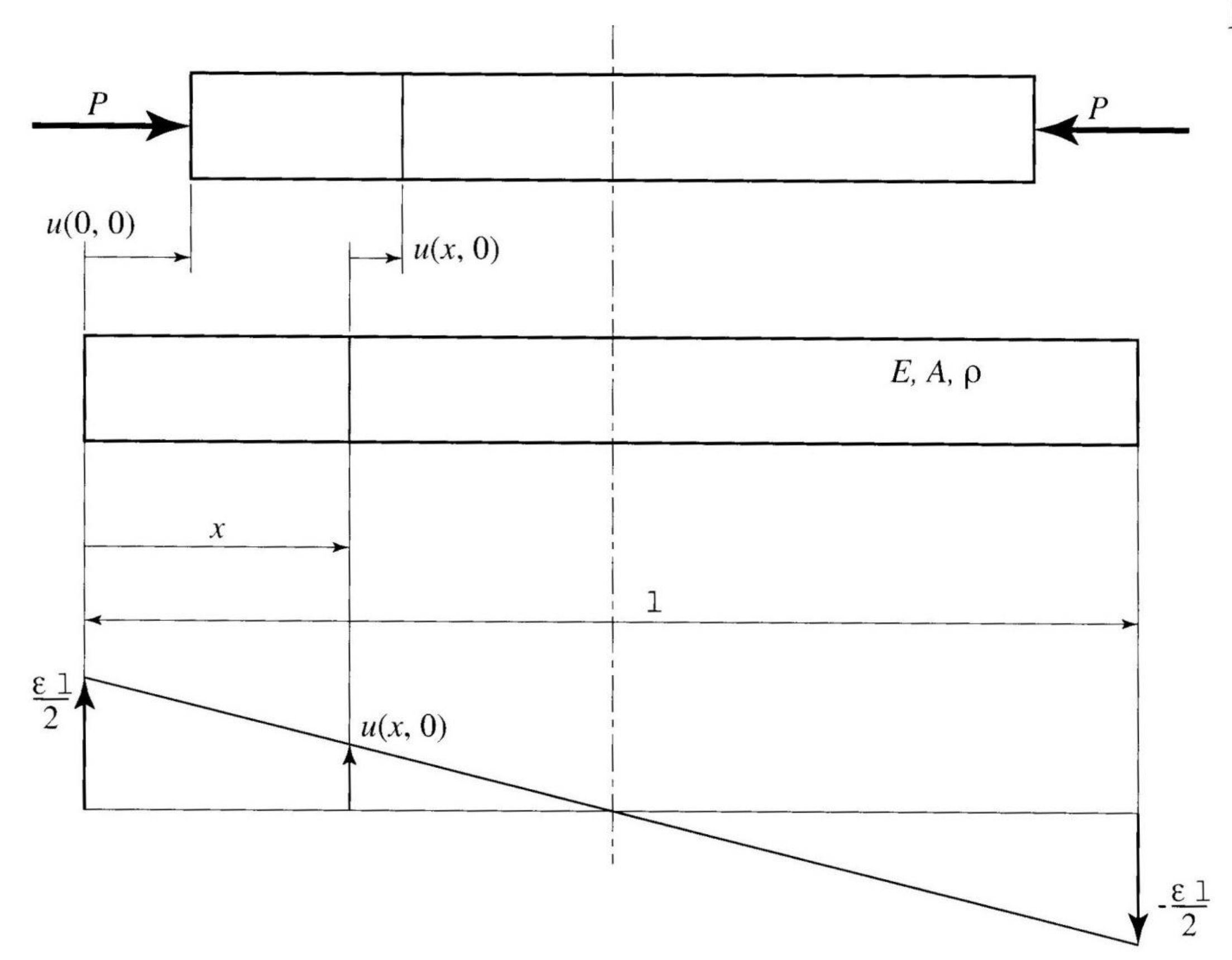
$$y(x,t) = \sum_{n=1}^{\infty} y_n(x,t) = \sum_{n=1}^{\infty} Y_n \sin n \, \alpha_1 x \cdot \cos(n \, \omega_1 t - \varphi_n) \quad (15.30)$$

Mécanique Vibratoire - SGM Ba5 - G. Villanueva

EPFL I. Vibrations latérales des cordes







Dérivation de la *déformation* d'une section de la barre

$$\varepsilon(x,t) = \frac{\partial u}{\partial x}$$

$$= \sum_{n=1}^{\infty} \alpha_n \left(-C_n \sin \alpha_n x + D_n \cos \alpha_n x \right)$$

$$\cdot \left(A_n \cos \omega_n t + B_n \sin \omega_n t \right)$$

Conditions aux limites d'une barre libre en ses extrémités – Contrainte et allongement relatif nuls en x = 0 et $x = \ell$

$$\varepsilon(0,t) \equiv 0 \implies D_n = 0$$

$$\varepsilon(\ell,t) \equiv 0 \implies \alpha_n \ell = n \pi$$

$$\Rightarrow \alpha_n = \frac{n \pi}{\ell}$$

Dérivation de la *déformation* d'une section de la barre

$$\varepsilon(x,t) = \frac{\partial u}{\partial x}$$

$$= \sum_{n=1}^{\infty} \alpha_n \left(-C_n \sin \alpha_n x + D_n \cos \alpha_n x \right)$$

$$\cdot \left(A_n \cos \omega_n t + B_n \sin \omega_n t \right)$$

Conditions aux limites d'une barre libre en ses extrémités – Contrainte et allongement relatif nuls en x = 0 et $x = \ell$

$$\varepsilon(0,t) \equiv 0 \implies D_n = 0$$

$$\varepsilon(\ell,t) \equiv 0 \implies \alpha_n \ell = n \pi$$

$$\Rightarrow \alpha_n = \frac{n \pi}{\ell}$$

Extraction des *pulsations propres* de la barre libre-libre

$$\alpha_n = \frac{\omega_n}{a} \implies \omega_n = \alpha_n a$$

avec
$$a = \sqrt{\frac{E}{\rho}}$$

Conditions aux limites d'une barre libre en ses extrémités – Contrainte et allongement relatif nuls en x = 0 et $x = \ell$

$$\varepsilon(0,t) \equiv 0 \implies D_n = 0$$

$$\varepsilon(\ell,t) \equiv 0 \implies \alpha_n \ell = n \pi$$

$$\Rightarrow \alpha_n = \frac{n \pi}{\ell}$$

Extraction des *pulsations propres* de la barre libre-libre

$$\alpha_n = \frac{\omega_n}{a} \implies \omega_n = \alpha_n a$$

avec
$$a = \sqrt{\frac{E}{\rho}}$$

Solution générale de l'équation d'onde relative à la barre libre-libre ($C_n = 1$)

$$u(x,t) = \sum_{n=1}^{\infty} u_n(x,t)$$

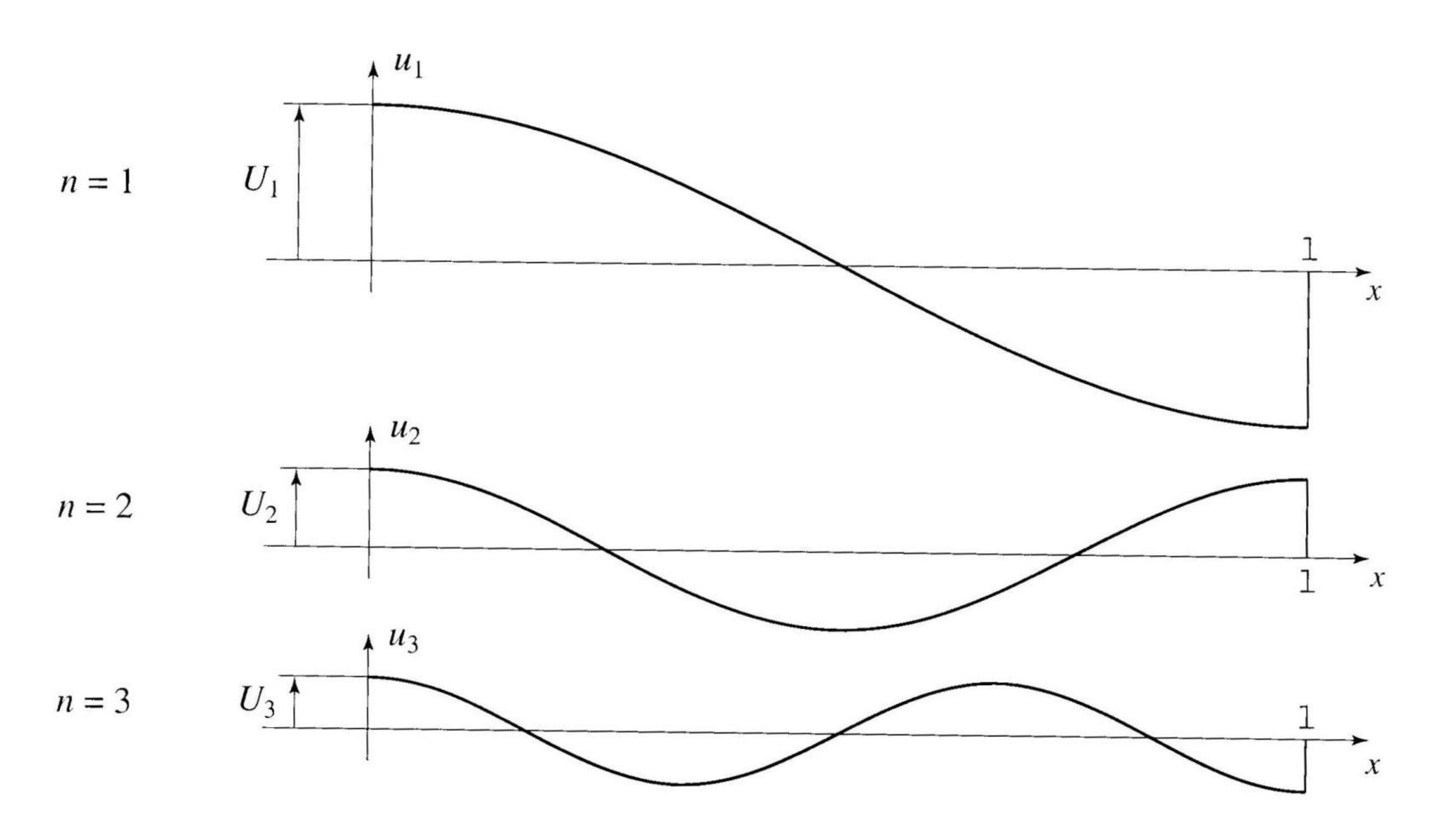
$$= \sum_{n=1}^{\infty} \cos n \, \alpha_1 x$$

$$\cdot \left(A_n \cos n \, \omega_1 t + B_n \cos n \, \omega_1 t \right) \quad (15.33)$$

$$= \sum_{n=1}^{\infty} U_n \cos n \, \alpha_1 x \cdot \cos \left(n \, \omega_1 t - \varphi_n \right) \quad (15.34)$$

$$u_n(x,t) \qquad \text{mode propre de rang } n$$

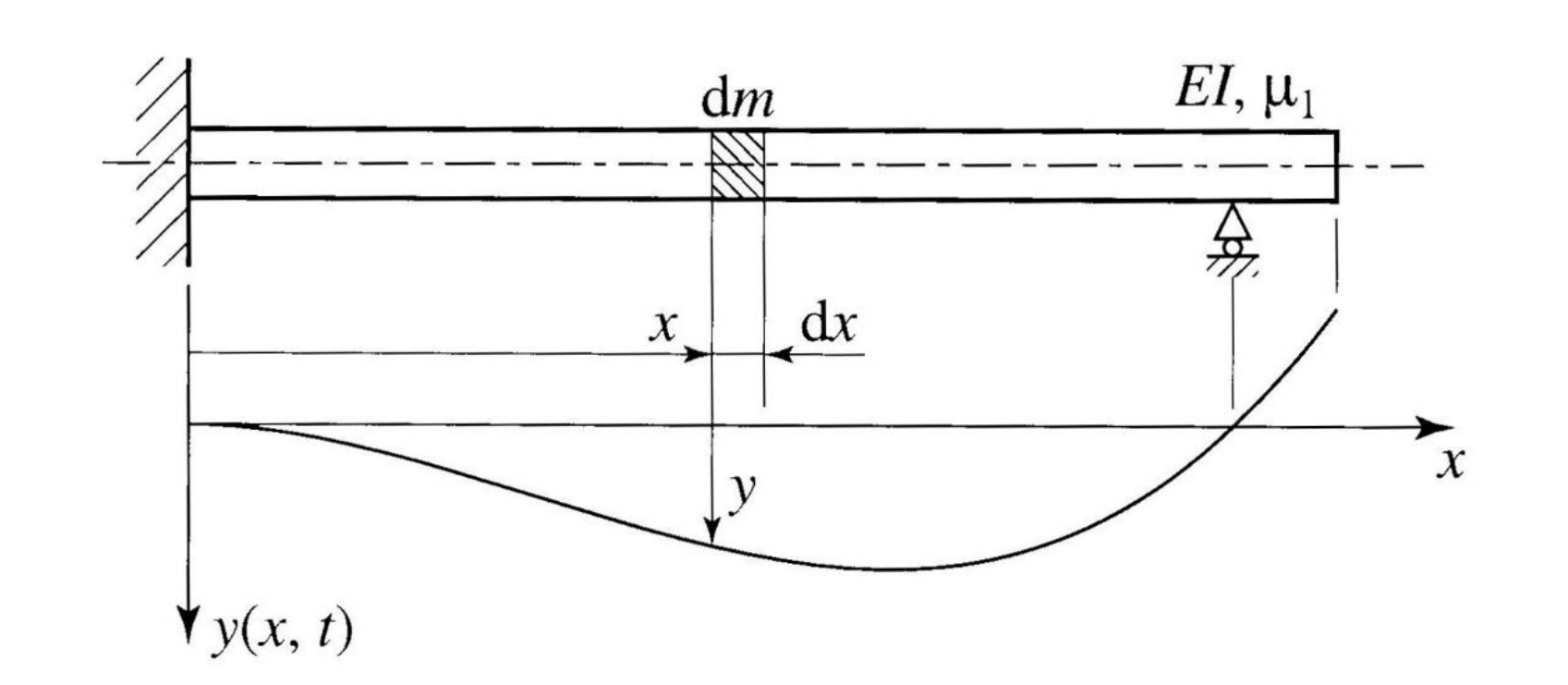
 $U_n \cos n \alpha_1 x$ forme propre de rang n

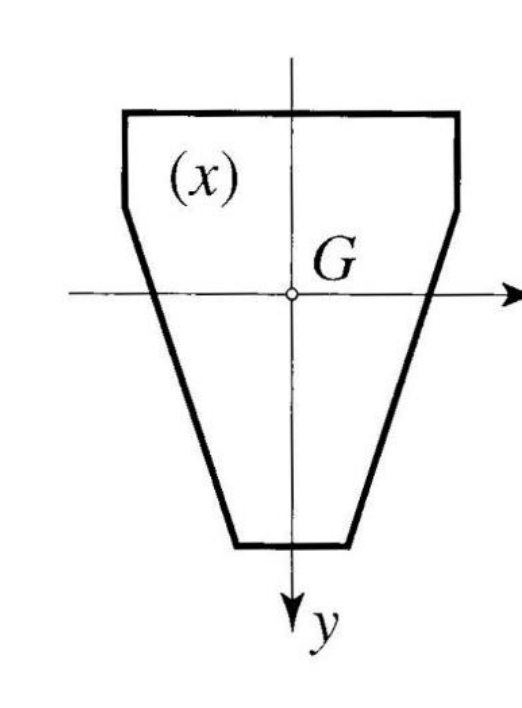


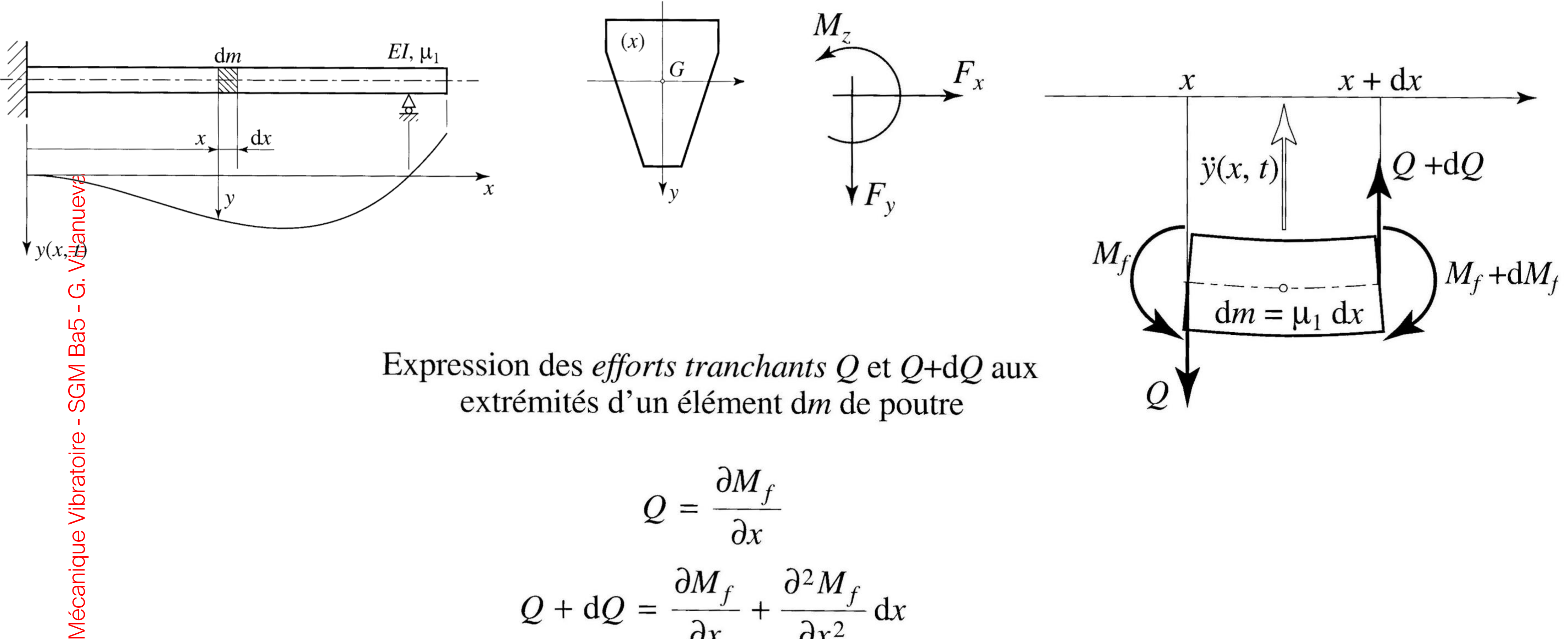


Hypothèses adoptées pour l'étude des vibrations de flexion des poutres droites – Théorie de Bernoulli-Euler des poutres droites

- l'axe neutre x de la poutre est une droite;
- la poutre vibre latéralement dans le plan xy (vibrations coplanaires);
- les axes y et z sont principaux d'inertie;
- l'inertie de rotation des sections droites de la poutre est négligée;
- une section droite avant déformation reste droite après déformation (hypothèse de Bernoulli – effet du cisaillement négligé).







$$Q = \frac{\partial M_f}{\partial x}$$

$$Q + dQ = \frac{\partial M_f}{\partial x} + \frac{\partial^2 M_f}{\partial x^2} dx$$

 M_f moment de flexion

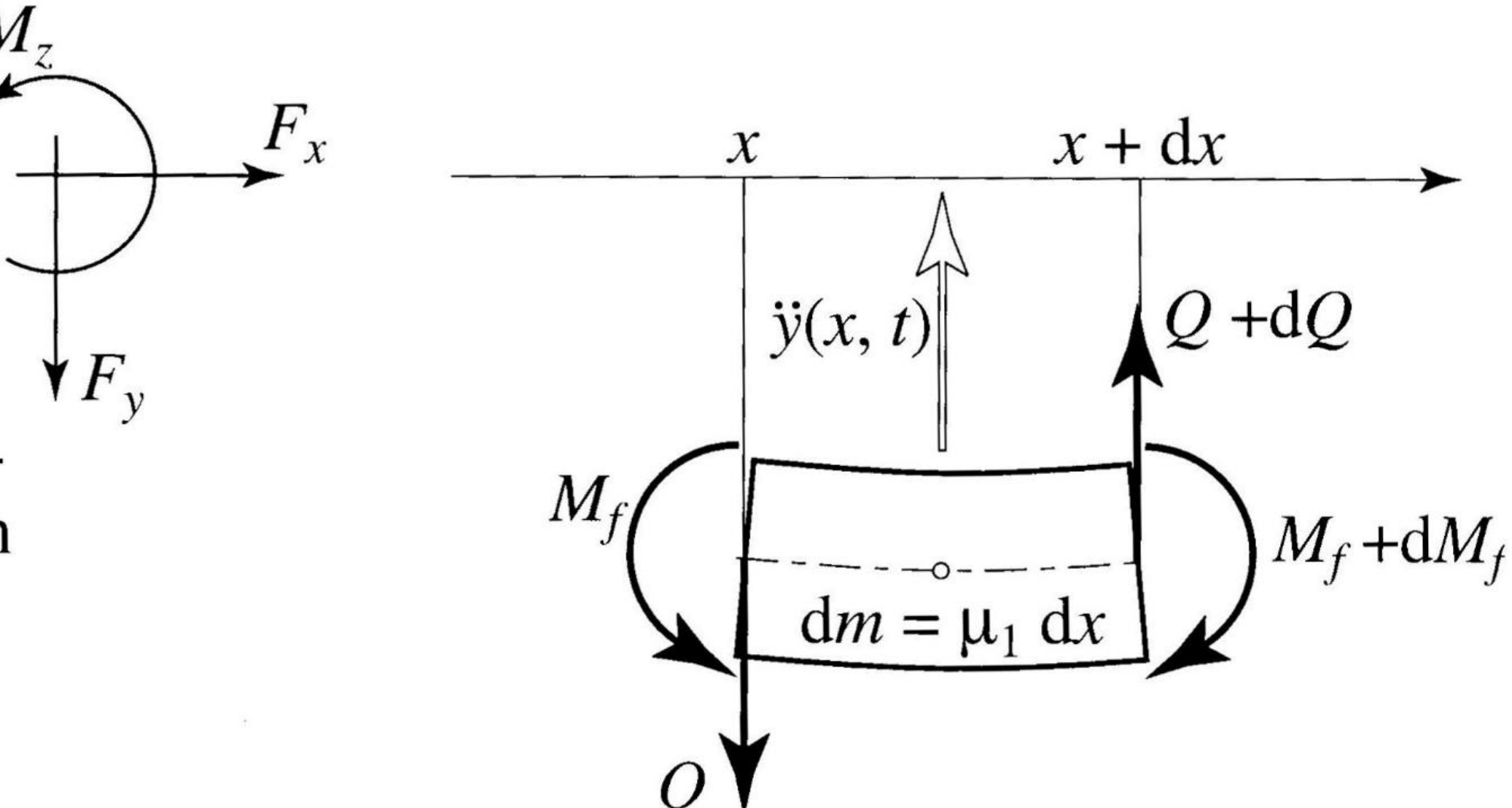
Systèmes

Ecriture de la *loi de Newton* – Equilibre d'un élément d*m* de poutre par projection des forces selon l'axe y (référentiel droit)

$$\mathrm{d}m\,\frac{\partial^2 y}{\partial t^2} = -(Q + \mathrm{d}Q) + Q$$

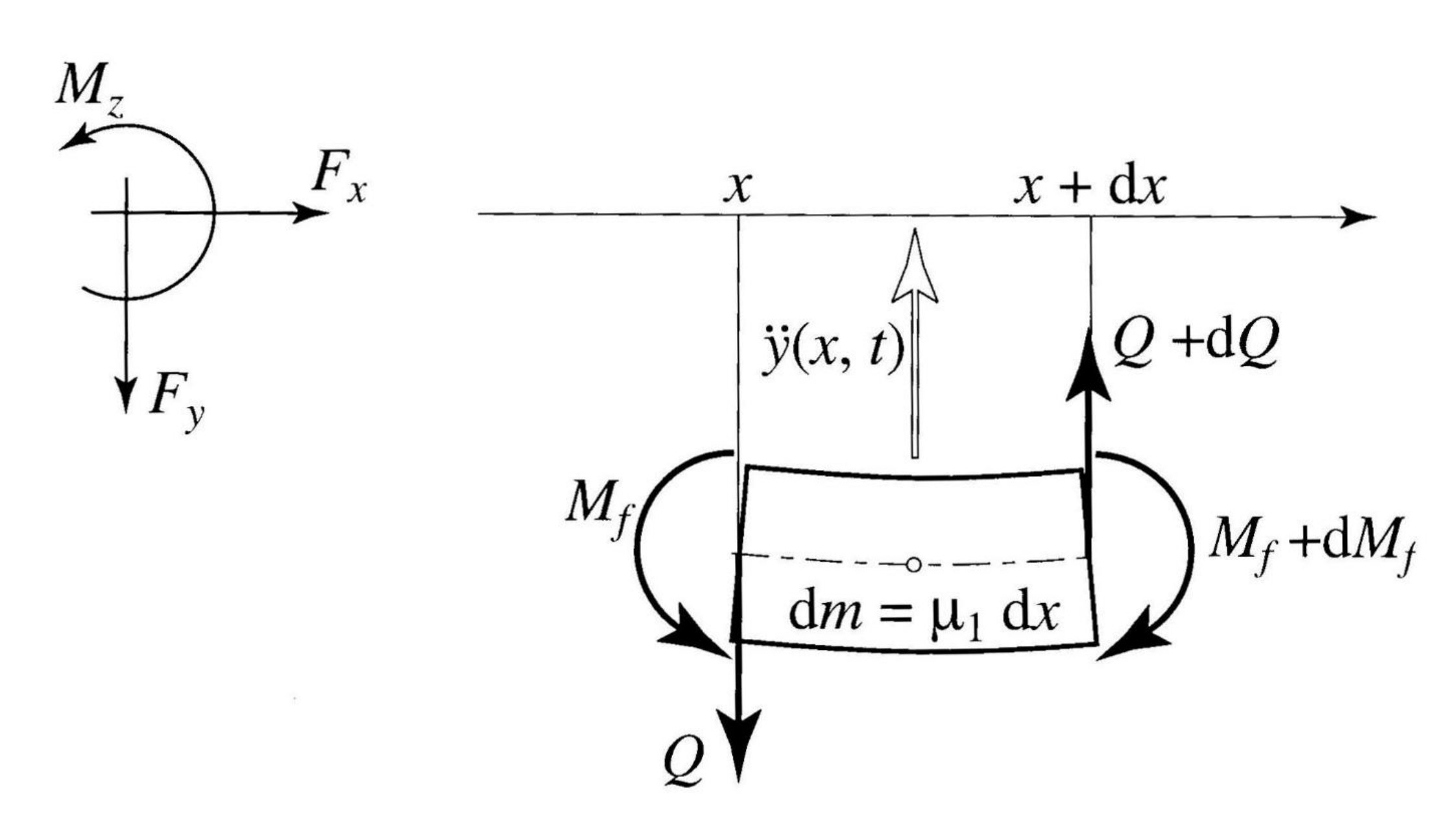
$$\mu_1 dx \frac{\partial^2 y}{\partial t^2} = -\left(\frac{\partial M_f}{\partial x} + \frac{\partial^2 M_f}{\partial x^2} dx\right) + \frac{\partial M_f}{\partial x}$$

y déplacement transversal μ_1 masse par unité de longueur



Equation différentielle relative aux vibrations de flexion d'une poutre

$$\mu_1 \frac{\partial^2 y}{\partial t^2} = -\frac{\partial^2 M_f}{\partial x^2} \tag{16.1}$$



Lien entre le rayon de courbure ρ de la poutre et le moment de flexion M_f (référentiel droit)

$$\frac{1}{\rho} = \frac{\partial^2 y}{\partial x^2} = \frac{M_f}{EI}$$

E module d'élasticité

I moment d'inertie de la section par rapport à l'axe z

Equation différentielle relative aux vibrations de flexion d'une poutre

$$\mu_1 \frac{\partial^2 y}{\partial t^2} = -\frac{\partial^2 M_f}{\partial x^2} \qquad (16.1)$$

Equation différentielle régissant les vibrations latérales d'une poutre de section constante

$$\frac{\partial^2 y}{\partial t^2} = -\frac{EI}{\mu_1} \frac{\partial^4 y}{\partial x^4}$$
 (16.2)

EPFL Séparation de variables

$$\frac{\partial^2 y}{\partial t^2} = -\frac{EI}{\mu_1} \frac{\partial^4 y}{\partial x^4}$$
 (16.2)

$$y(x,t) = V(x) \cdot U(t) \quad (16.3)$$

Ecriture de l'équation différentielle en fonction des nouvelles variables

$$\frac{\ddot{U}}{U} = -\frac{EI}{\mu_1} \frac{V^{IV}}{V}$$
 (16.4)

Résolution du membre *temporel* de l'équation différentielle

$$\frac{\ddot{U}}{U} = -\omega_n^2 \implies \ddot{U} + \omega_n^2 U = 0$$

$$U_n(t) = A_n \cos \omega_n t + B_n \sin \omega_n t \quad (16.5)$$

EPFL Séparation de variables

$$\frac{\partial^2 y}{\partial t^2} = -\frac{EI}{\mu_1} \frac{\partial^4 y}{\partial x^4}$$
 (16.2)

$$y(x,t) = V(x) \cdot U(t) \quad (16.3)$$

Ecriture de l'équation différentielle en fonction des nouvelles variables

$$\frac{\ddot{U}}{U} = -\frac{EI}{\mu_1} \frac{V^{IV}}{V} \qquad (16.4)$$

Résolution du membre *spatial* de l'équation différentielle

$$-\frac{EI}{\mu_1} \frac{V^{IV}}{V} = -\omega_n^2 \implies V^{IV} - \omega_n^2 \frac{\mu_1}{EI} V = 0$$

$$V^{IV} = C - 2\alpha_n x + C - 2\alpha_n x$$

$$V_n(x) = C_{n1} e^{\alpha_n x} + C_{n2} e^{-\alpha_n x} + C_{n3} \cos \alpha_n x + C_{n4} \sin \alpha_n x$$
(16.7)

avec

$$\alpha_n = 4 \omega_n^2 \frac{\mu_1}{EI} \qquad (16.6)$$

EPFL Séparation de variables

Solution générale de l'équation différentielle par sommation des solutions particulières

$$y(x,t) = \sum_{n=1}^{\infty} \left(A_n \cos \omega_n t + B_n \sin \omega_n t \right) \cdot \left(C_{n1} e^{\alpha_n x} + C_{n2} e^{-\alpha_n x} + C_{n3} \cos \alpha_n x + C_{n4} \sin \alpha_n x \right)$$

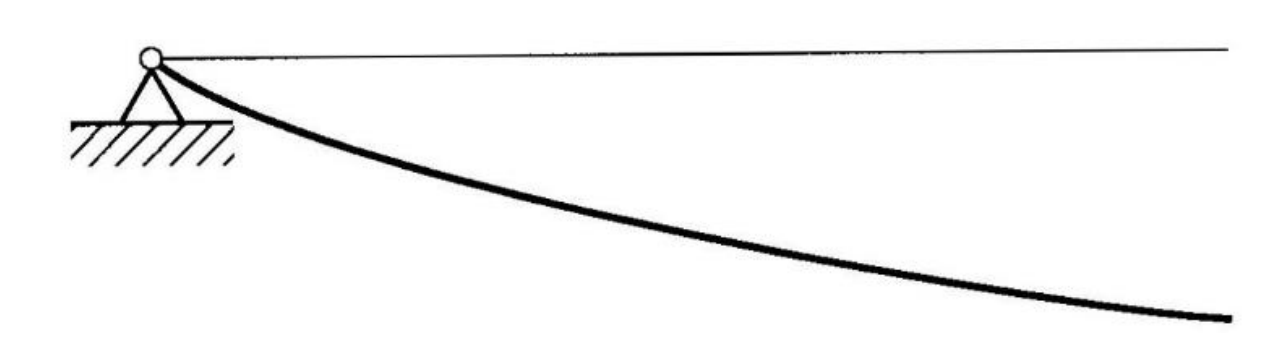
$$(16.8)$$

EPFL Conditions de Borde

appui simple

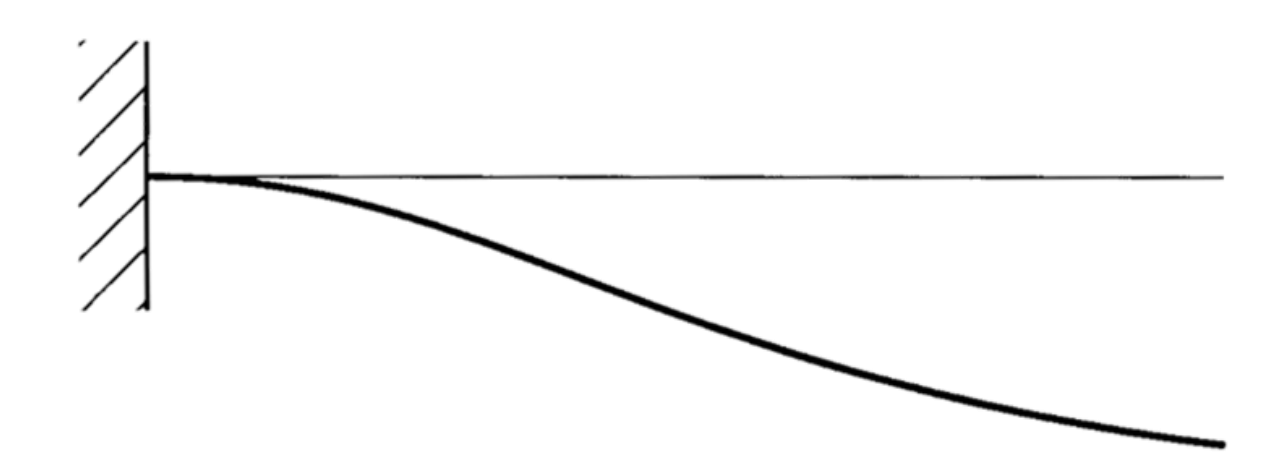
$$y = 0$$

$$M_f = 0 \implies y'' = 0$$



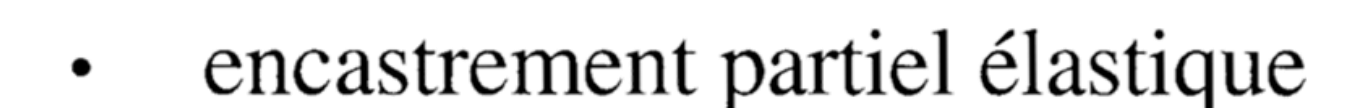
encastrement parfait

$$y = 0$$
$$y' = 0$$



extrémité libre

$$M_f = 0 \implies y'' = 0$$
 $Q = 0 \implies y''' = 0$



$$y = 0$$

$$M = -k y' \implies y'' = \frac{k}{EI} y'$$

